

บทความวิจัย

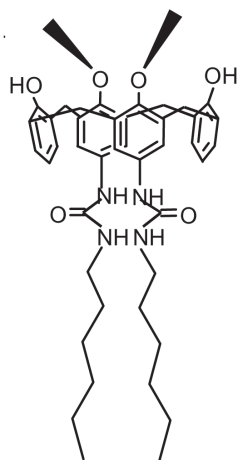
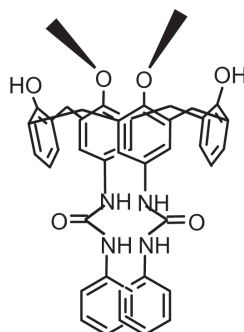
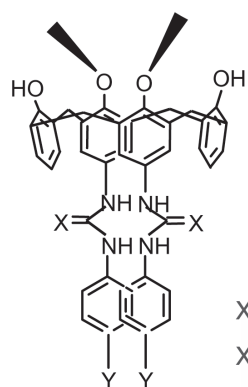
การสังเคราะห์อนุพันธ์ของคลิกซ์[4]เอรีน สำหรับการตรวจจับไฮอนลับ: ผลของการเติมหมู่ดึงอิเล็กตรอน ในโครงสร้างต่อการจับไฮอนลับ

แพน ทองเรือง* จริยาภรณ์ ป้อมสุข และ สมพร ติยะครี

บทคัดย่อ

การสังเคราะห์อนุพันธ์ของคลิกซ์[4]เอรีน คือ ลิแกนด์ **2, 3, 4** และ **5** โดยการเติมหมู่ดึงอิเล็กตรอน (*p*-nitrophenyl และ *p*-chlorophenyl) เข้าไปในโครงสร้างเพื่อเพิ่มประสิทธิภาพในการจับไฮอนลับ ที่มีตัวจับไฮอนลับเป็นยูเรีย (**3** และ **5**) และไทโอยูเรีย (**2** และ **4**) การศึกษาการเกิดสารประกอบเชิงช้อนกับไฮอนลับชนิดต่างๆ (H_2PO_4^- , HSO_4^- , F^- , Cl^- , Br^- , I^- , NO_3^- , CH_3COO^-) โดยวิธี $^1\text{H-NMR titration}$ ในตัวทำละลาย DMSO-d_6 พบว่า ลิแกนด์ **2, 3, 4** และ **5** เลือกจับจำเพาะเจาะจงกับไฮอนลับที่มีความแรงของเบสที่แรง (H_2PO_4^- , F^- และ CH_3COO^-) มากกว่าไฮอนลับที่มีความแรงของเบสที่อ่อน (HSO_4^- , Cl^- , Br^- , I^- , NO_3^-) ลิแกนด์ที่มีหมู่ดึงอิเล็กตรอนที่เป็นหมู่ *p*-nitrophenyl (**4** และ **5**) มีความสามารถในการจับไฮอนลับได้ดีกว่าลิแกนด์ที่มีหมู่ดึงอิเล็กตรอนที่เป็นหมู่ *p*-chlorophenyl (**2** และ **3**) มีผลทำให้ลิแกนด์ **4** และ **5** เมื่อจับกับไฮอนลับที่มีความแรงของเบสที่แรงจะจับได้ดีจนเกิดการ deprotonation ทำให้ไม่สามารถหาค่าคงที่การเกิดสารประกอบเชิงช้อนโดยวิธี $^1\text{H-NMR titration}$ ได้ ลิแกนด์ **3** เลือกจับจำเพาะเจาะจงกับ $\text{H}_2\text{PO}_4^- > \text{CH}_3\text{COO}^-$ โดยไม่เกิดการ deprotonation และมีค่าคงที่การเกิดสารประกอบเชิงช้อนเท่ากับ 937.3 และ 660.4 M^{-1} ซึ่งค่าคงที่การเกิดสารประกอบเชิงช้อน

กับ H_2PO_4^- มีค่าเพิ่มขึ้นเป็นประมาณ 4 เท่า และ 20 เท่า เมื่อเทียบเทียบกับงานวิจัยก่อนหน้านี้ของอนุพันธ์คาลิกซ์[4]เอรีน (**6** และ **7**) ตามลำดับ ตัวจับไออกอนลนที่เป็นหมู่ไโทอยูเรียจะจับได้ดีกว่าตัวจับที่เป็นหมู่ยูเรีย ค่าคงที่การเกิดสารประกอบเชิงช้อนของลิแกนด์ **2** จึงมากกว่าลิแกนด์ **3** เมื่อจับกับ CH_3COO^- โดยมีค่าคงที่การเกิดสารประกอบเชิงช้อนเป็น 1754.7 M^{-1} และ 660.4 M^{-1} ตามลำดับ

**7****6** $X=S, Y=Cl$ **2** $X=O, Y=Cl$ **3** $X=S, Y=\text{NO}_2$ **4** $X=O, Y=\text{NO}_2$ **5**

คำสำคัญ: ตัวจับไออกอนลน คาลิกซ์[4]เอรีน $^1\text{H-NMR}$ Titration หมู่ดึงอิเล็กตรอน

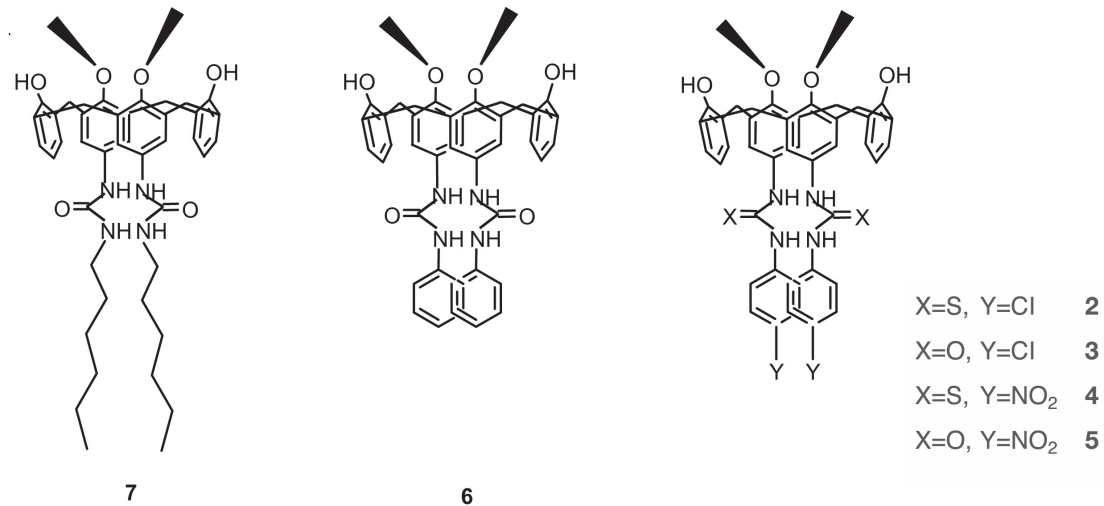
Synthesis of Derivatives of Calix[4]arene for Anion Sensors: Effects of the Electron Withdrawing Group towards Anion Binding Ability

Pan Tongraung*, Jariyaporn Pomsook and Somporn Tiyasri

ABSTRACT

Synthesis of derivatives of Calix[4]arene, ligands **2**, **3**, **4** and **5** were synthesized with electron withdrawing group (*p*-nitrophenyl-and *p*-chlorophenyl-) in order to enhance anion binding ability of the capture groups on the structure, urea (**3** and **5**) and thiourea (**2** and **4**). Complexations of various anions (H_2PO_4^- , HSO_4^- , F^- , Cl^- , Br^- , I^- , NO_3^- and CH_3COO^-) in DMSO-d₆ were investigated by using ¹H-NMR titration. It was found that ligands **2**, **3**, **4** and **5** preferred to bind with strong basic anions (H_2PO_4^- , F^- and CH_3COO^-) more than the weaker basic anions (HSO_4^- , Cl^- , Br^- , I^- , NO_3^-). Ligands containing *p*-nitrophenyl group (**4** and **5**) have higher anion binding ability than that of ligands containing *p*-chlorophenyl group (**2** and **3**) resulted in deprotonation of **4** and **5** when bind with strong base anions. Association constant of the complex thus could not be determined by ¹H-NMR titration. For ligand **3**, it prefer to form complex to H_2PO_4^- than CH_3COO^- without deprotonation, and association constants were 937.3 M⁻¹ and 660.4 M⁻¹, respectively. The association constant of **3** with H_2PO_4^- was found to be 4 and 20 times higher than previously reported values of derivatives of calix[4]arene (**6** and **7**),

respectively. Due to the higher anion binding ability of thiourea compared with that of urea, association constant of ligand **2** was therefore higher than of ligand **3** when binded with CH_3COO^- with association constant of 1754.7 M^{-1} and 660.4 M^{-1} , respectively.



Keywords: anion sensors, calix[4]arene, $^1\text{H-NMR}$ titration, electron withdrawing group

บทนำ

การออกแบบและสังเคราะห์ supramolecule ที่มีสมบัติในการตรวจจับเกสต์โมเลกุล (guest molecule) เป็นศาสตร์ที่นักวิจัยให้ความสนใจมากกว่า 10 ปี โดยเฉพาะเกสต์โมเลกุลที่เป็นไอออนลบ เนื่องจากไอออนลบมีบทบาทและหน้าที่สำคัญหลายด้านต่อมนุษย์ สัตว์ และสิ่งแวดล้อม ทั้งทางด้านชีววิทยา (biology) ด้านยาการแพทย์ (medicine) และด้านสิ่งแวดล้อม (environment) โดยเฉพาะแหล่งกำเนิดไอออนลบที่เกิดจากการกระทำของมนุษย์ เช่น ของเสียในโรงงานอุตสาหกรรมที่ปล่อยลงสู่สิ่งแวดล้อม จากการเกณฑ์กรรม จากครัวเรือน เป็นต้น ตัวจับไอออนลบ (anion receptor) นั้น จะมีทั้งระบบที่เป็นอนินทรีย์ ซึ่งจะใช้แรงดึงดูดระหว่างประจุ ซึ่งมาจากประจุบวกของโลหะเข้าช่วย เช่น cobaltocenium-based receptors, guanidinium based receptors และระบบที่เป็นสารอินทรีย์ ซึ่งจะใช้แรงดึงดูดระหว่างขั้วและพันธะไฮโดรเจน เช่น ตัวจับที่เป็นเอโนเมต ยูเรีย และไทโอลูเรีย [1-7] เป็นต้น

Supramolecule ในปัจจุบันที่มีการสังเคราะห์จะมุ่งเน้นโมเลกุลที่สามารถให้สัญญาณได้ ซึ่งเป็นสัญญาณทางไฟฟ้าเคมี หรือสัญญาณทางอปติก เช่น ฟลูออเรสเซนต์ ลูมิเนสเซนต์ หรือยูวี-วิชิเบิล โดยหลักการแล้วโมเลกุลกลุ่มนี้จะถูกออกแบบให้ประกอบไปด้วยหน่วยต่างๆ ที่ทำงานที่แตกต่างกัน คือ หน่วยที่ให้สัญญาณ (signaling unit) หน่วยที่เป็นตัวเชื่อม (spacer) และหน่วยที่เป็นตัวจับเกสต์โมเลกุล (receptor unit) ซึ่งเกสต์โมเลกุลบางชนิดเป็นอันตรายหรือเป็นมลพิษต่อสิ่งมีชีวิตและสิ่งแวดล้อม เนื่องจากในปัจจุบัน มีการใช้สารเคมีทางการเกณฑ์และอุตสาหกรรมอย่างมากน้อย ซึ่งก่อให้เกิดผลกระทบต่อสิ่งมีชีวิตและสิ่งแวดล้อม เพราะมีการปล่อยของเสียที่มีพิษแก่ทั้งตนเองและแอนไซอ่อนเป็นองค์ประกอบ นอกจากนี้ได้มีนักวิจัยให้ความสนใจในการใช้เคมีซุปราโมเลคิวลาร์ (supramolecular chemistry) ศึกษาการทำงานของกลไกต่างๆ ในสิ่งมีชีวิต เช่น กระบวนการสร้างพังงานของสิ่งมีชีวิต โดยในระบบมีนิวคลีโอไทด์ โพลีฟอสเฟต เป็นส่วนประกอบ และได-อะโร-ไตร-คาร์บอชิเลตแอนไฮเดรต เป็นสปีชีส์ที่สำคัญในกระบวนการเผาผลาญของสิ่งมีชีวิต และยังพบไฮอนลบอนินทรีย์หลายชนิด เช่น ไฮอนของไนเตรต คาร์บอเนต ชัลไฟต์ และคลอไรด์ อุ่ยในระบบชีวภาพเป็นจำนวนมาก การพัฒนาวิธีการสังเคราะห์โมเลกุลเพื่อดักจับหรือติดตามกระบวนการต่างๆ ที่เกี่ยวข้องกับไฮอนลบ หรือแม้กระทั่งการสร้างโมเลกุลเพื่อใช้เป็นเครื่องมือตรวจวัดไฮอนลบ ดังนั้น การออกแบบและพัฒนาโมเลกุลที่มีคุณสมบัติดังกล่าวจึงมีความสำคัญ

งานวิจัยก่อนหน้านี้ของผู้วิจัยได้ออกแบบสังเคราะห์โมเลกุลที่มีตัวจับไฮอนลบเป็นยูเรีย [8] โดยมีค่าลิกซ์[4] เอรีนเป็นโครงสร้างฐาน เนื่องจากตัดแต่งต่อเติมได้่ายเพื่อให้ได้โมเลกุลที่มีคุณสมบัติเฉพาะ โครงของค่าลิกซ์[4] เอรีนจะส่งผลให้จับเกสต์โมเลกุลได้ดี พนวจโมเลกุลที่ออกแบบสังเคราะห์นั้นเลือกจับกับไฮอนลบ $H_2PO_4^-$ ได้ดีกว่า Cl^- ในขณะที่ NO_3^- , Br^- และ I^- ไม่สามารถเกิดสารประกอบเชิงช้อนกับโมเลกุลได้ ถึงแม่โมเลกุลจะเลือกจับกับ $H_2PO_4^-$ แต่ค่าคงที่การเกิดสารประกอบเชิงช้อนมีค่าต่ำเพียง $44.4 M^{-1}$ นอกจากนี้ ยังมีงานของผู้วิจัยที่มีค่าลิกซ์[4] เอรีนเป็นโครงสร้างฐานเช่นเดียวกัน โมเลกุลที่สังเคราะห์ได้ยังคงเลือกจับกับ $H_2PO_4^-$ และมีค่าคงที่การเกิดสารประกอบเชิงช้อนที่เพิ่มขึ้นเป็น $250.0 M^{-1}$ [9] เป็นเพราะจากโครงสร้างของโมเลกุลในงานวิจัยนี้โปรดอนของยูเรียมีความแรงของกรดเพิ่มขึ้น การจับกับไฮอนลบจึงแข็งแรงขึ้น ดังนั้น งานวิจัยครั้งนี้ต้องการเพิ่มประสิทธิภาพในการจับไฮอนลบให้เพิ่มขึ้นอีก จึงได้สังเคราะห์โมเลกุลที่มีตัวจับไฮอนลบเป็นยูเรีย หรือไทโอลูเรีย และมีการเติมหมู่ดึงอิเล็กตรอน (electron

withdrawing group) คือ *p*-nitrophenyl และ *p*-chlorophenyl ที่เป็นตัวส่งสัญญาณ (signaling unit) ในเวลาเดียวกัน โดยคาดว่าการเติมหมู่ดึงอิเล็กตรอนเข้าไปจะทำให้มีเลกุลที่สั้นเคราะห์ขึ้นใหม่นี้จะเพิ่มประสิทธิภาพในการจับไออกอนลบได้ดียิ่งขึ้น และส่งสัญญาณได้

การเตรียมสารและวิธีการทดลอง

เครื่องมือและสารเคมี

1. สารเคมีและตัวทำละลายที่ใช้ในการทดลองที่เป็น analytical grade ได้จากบริษัท Fluka, BDH, Aldric, Carlo Erba, Merck หรือ J.T. Baker

2. เกลือของไออกอนลบสำหรับการทำ $^1\text{H-NMR}$ titration เช่น tetrabutylammonium fluoride trihydrate, tetrabutylammonium chloride, tetrabutylammonium bromide, tetrabutylammonium iodide ได้จากบริษัท Acros Organics

3. ตัวทำละลายที่เป็น commercial grade เช่น acetone, dichloromethane, hexane, methanol และ ethyl acetate ทำให้บริสุทธิ์ได้โดยการกลั่น

4. ตัวทำละลายที่ใช้ในการตั้งปฏิกิริยาจะถูกกลั่นบน CaH_2 และตัวทำละลายที่ใช้ในการทำคอลัมน์จะถูกชั่งด้วย molecular sieves ก่อนใช้

5. Thin-layer chromatography (TLC) ได้จากการเคลือบ silica gel (Kieselgel 60, Merck) บน plates และสารที่อยู่บน TLC plates วิเคราะห์โดยเครื่องฉายแสง UV (UV-light)

6. สารตั้งต้นในการสังเคราะห์ เช่น *p*-*tert*-butylcalix[4]arene สังเคราะห์ได้จากการทำปฏิกิริยาควบแน่นของ *p*-*tert*-butylphenol กับ formaldehyde ในสภาวะเบส

7. $^1\text{H-NMR}$ บันทึกค่าด้วยเครื่อง Nuclear Magnetic Resonance (NMR) spectrometers รุ่น AVANCE 300 MHz ของ Bruker

8. Mass spectrum บันทึกค่าด้วย EI-MS: Thermo Finnigan Polaris Q

การเตรียมสาร 5, 17-bis-[*N*-(*p*-chlorophenyl)] dithiourea-25, 27-dihydroxy-26, 28-dimethoxycalix[4]arene (2)

ละลายสาร 1 0.20 กรัม (0.414 mmol) ในตัวทำละลาย CH_2Cl_2 10 มิลลิลิตร ในขวดก้นกลมขนาด 25 มิลลิลิตร เติม *p*-chlorophenyl isothiocyanate 0.16 กรัม (0.912 mmol) ทำการกวนภายในไทรีบราเวย์ N_2 เป็นเวลา 24 ชั่วโมง จะได้ตะกอนสีน้ำเหลืองอ่อน กรองและเก็บสารไว้ในโถดูดความชื้น (2) (0.29 กรัม, 85%); $^1\text{H-NMR}$ (DMSO-d_6): δ 9.68 (s, 2H, NHArCl), 9.24 (s, 2H, NHArOCH_3), 8.22 (s, 2H, ArOH), 7.44 (d, $J=8.7$ Hz, 4H, ClArH), 7.32 (d, $J=9.0$ Hz, 4H, ClArH), 7.12 (d, $J=7.2$ Hz, 2H, ArHOH), 7.08 (d, $J=6.9$ Hz, 2H, ArHOH), 6.98 (s, 2H, ArHOCH_3), 6.60 (t, $J=7.5$ Hz, 2H, ArHOH) 6.18 (s, 2H, ArHOCH_3), 4.19 (d, $J=12.6$ Hz, 2H, ArCH_2Ar), 4.05 (d, $J=12.6$ Hz, 2H, ArCH_2Ar), 3.94 (s, 3H, ArOCH_3), 3.83 (s, 3H, ArOCH_3), 3.43 (d, $J=12.6$ Hz, 4H, ArCH_2Ar); EI MS (m/z): 819.02 [M^+]

การเตรียมสาร 5, 17-bis-[*N*-(*p*-chlorophenyl)] diurea-25, 27-dihydroxy-26, 28-dimethoxycalix[4]arene (3)

ละลายน้ำ 1 0.20 กรัม (0.414 mmol) ในตัวทำละลาย CH_2Cl_2 10 มิลลิลิตร ในขวดก้นกลมขนาด 25 มิลลิลิตร เติม *p*-chlorophenyl isocyanate 0.11 มิลลิลิตร (0.912 mmol) ทำการกวนภายในไทรบรรยายแก๊ส N_2 เป็นเวลา 24 ชั่วโมง จะได้ตั้งกอนลีน้ำตาลอ่อน กรองและเก็บสารไว้ในโถดูดความชื้น (3) (0.26 กรัม, 80%); $^1\text{H-NMR}$ (DMSO- d_6): δ 8.59 (s, 2H, NHArCl), 8.35 (s, 2H, NHArOCH₃), 8.17 (s, 2H, ArOH), 7.37 (d, $J=8.7$ Hz, 4H, ClArH) 7.25 (d, $J=8.7$ Hz, 4H, ClArH), 7.09-7.14 (m, 8H, ArHCH₂⁻), 6.60 (t, $J=7.5$ Hz, 2H, ArHCH₂⁻) 4.16 (d, $J=12.6$ Hz, 4H, ArCH₂Ar), 3.90 (s, 6H, ArOCH₃), 3.41 (d, $J=12.6$ Hz, 4H, ArCH₂Ar); EI MS (m/z): 787.15 [M⁺]

การเตรียมสาร 5, 17-bis-[*N*-(*p*-nitrophenyl)] dithiourea-25, 27-dihydroxy-26, 28-dimethoxycalix[4]arene (4)

ละลายน้ำ 1 0.20 กรัม (0.414 mmol) ในตัวทำละลาย CH_2Cl_2 10 มิลลิลิตร ในขวดก้นกลมขนาด 25 มิลลิลิตร เติม *p*-nitrophenyl isothiocyanate 0.17 กรัม (0.912 mmol) ทำการกวนภายในไทรบรรยายแก๊ส N_2 เป็นเวลา 24 ชั่วโมง จะได้ตั้งกอนลีน้ำตาลอ่อน กรองและเก็บสารไว้ในโถดูดความชื้น (4) (0.31 กรัม, 90%); $^1\text{H-NMR}$ (DMSO- d_6): δ 10.25 (s, 2H, -NHArNO₂), 9.79 (s, 2H, -NHArOCH₃), 8.19 (s, 2H, ArOH), 8.16 (d, $J=9$ Hz, 4H, NO₂ArH), 7.77 (d, $J=9$ Hz, 4H, NO₂ArH), 7.19 (s, 4H, ArHCH₂⁻), 7.12 (d, $J=7.5$ Hz, 4H, ArHCH₂⁻), 6.60 (t, $J=7.5$ Hz, 2H, ArHCH₂⁻), 4.21 (d, $J=12.6$ Hz, 4H, ArCH₂Ar), 3.97 (s, 6H, ArOCH₃), 3.48 (d, $J=12.6$ Hz, 4H, ArCH₂Ar); EI MS (m/z): 841.21 [M⁺]

การเตรียมสาร 5, 17-bis-[*N*-(*p*-nitrophenyl)] diurea-25, 27-dihydroxy-26, 28-dimethoxycalix[4]arene (5)

ละลายน้ำ 1 0.20 กรัม (0.414 mmol) ในตัวทำละลาย CH_2Cl_2 10 มิลลิลิตร ในขวดก้นกลมขนาด 25 มิลลิลิตร เติม *p*-nitrophenyl isocyanate 0.16 กรัม (0.912 mmol) กวนภายในไทรบรรยายแก๊ส N_2 เป็นเวลา 24 ชั่วโมง จะได้ตั้งกอนลีน้ำตาลอ่อน กรองและเก็บสารไว้ในโถดูดความชื้น (5) (0.27 กรัม, 80%); $^1\text{H-NMR}$ (DMSO- d_6): δ 9.24 (s, 2H, -NHArNO₂), 8.58 (s, 2H, -NHArOCH₃), 8.14 (s, 2H, ArOH), 8.12 (d, $J=9$ Hz, 4H, NO₂ArH), 7.75 (d, $J=9$ Hz, 4H, NO₂ArH), 7.19 (s, 4H, ArHCH₂⁻), 7.10 (d, $J=7.5$ Hz, 4H, ArHCH₂⁻), 6.62 (t, $J=7.5$ Hz, 2H, ArHCH₂⁻), 4.19 (d, $J=12.6$ Hz, 4H, ArCH₂Ar), 3.95 (s, 6H, ArOCH₃), 3.45 (d, $J=12.6$ Hz, 4H, ArCH₂Ar); EI MS (m/z): 809.26 [M⁺]

การเตรียมสารเพื่อคึกข้าการเกิดสารประกอบเชิงช้อนของสาร 2, 3, 4 และ 5 กับไอออนลบต่างๆ (Cl^- , Br^- , I^- , NO_3^- , CH_3COO^- , HSO_4^- และ H_2PO_4^-) โดยวิธี $^1\text{H-NMR titration}$

การเตรียมสารละลายของสาร 2-5

ชั่งสาร 2, 3, 4 และ 5 มา 5×10^{-6} mol เติมลงในหลอด NMR ทึ้งหมด 4 หลอด แล้วเติมตัวทำละลาย DMSO-d_6 เพื่อละลายสาร 2, 3, 4 และ 5 ให้เป็นสารละลายเนื้อดียกัน โดยการเติม DMSO-d_6 ให้มีปริมาตรสุดท้าย 500 μl (0.5 มิลลิลิตร) จะได้สารละลายของ 2, 3, 4 และ 5 เช้มขั้น 0.01 mol/dm³

การเตรียม stock solution ของไอออนลบชนิดต่างๆ เพื่อทำการ titration

ชั่งเกลือไอออนลบของ NO_3^- , CH_3COO^- , H_2PO_4^- , HSO_4^- , F^- , Cl^- , Br^- และ I^- 5×10^{-5} mol ใส่ในขวดใส่สาร แล้วเติม DMSO-d_6 เพื่อละลายและปรับปริมาตรให้เป็น 500 μl (0.5 ml) จะได้ stock solution ของไอออนลบชนิดต่างๆ เช้มขั้น 0.1 mol/dm³

วิธีการทดลอง

1. บันทึก NMR สเปกตรัม และค่า chemical shift ของ NH - ในหมู่ไหโอยูเรียหรืออยูเรียของ ลิแกนด์ 2, 3, 4 และ 5

2. จากนั้นเติมไอออนลบชนิดต่างๆ ในอัตราส่วนโมลที่ปรากฏในตารางที่ 1 โดยแต่ละอัตราส่วนโมลให้บันทึก $^1\text{H-NMR}$ สเปกตรัม และบันทึกค่า chemical shift ของ NH - ในหมู่ไหโอยูเรียหรืออยูเรียไว้ทุกรัง

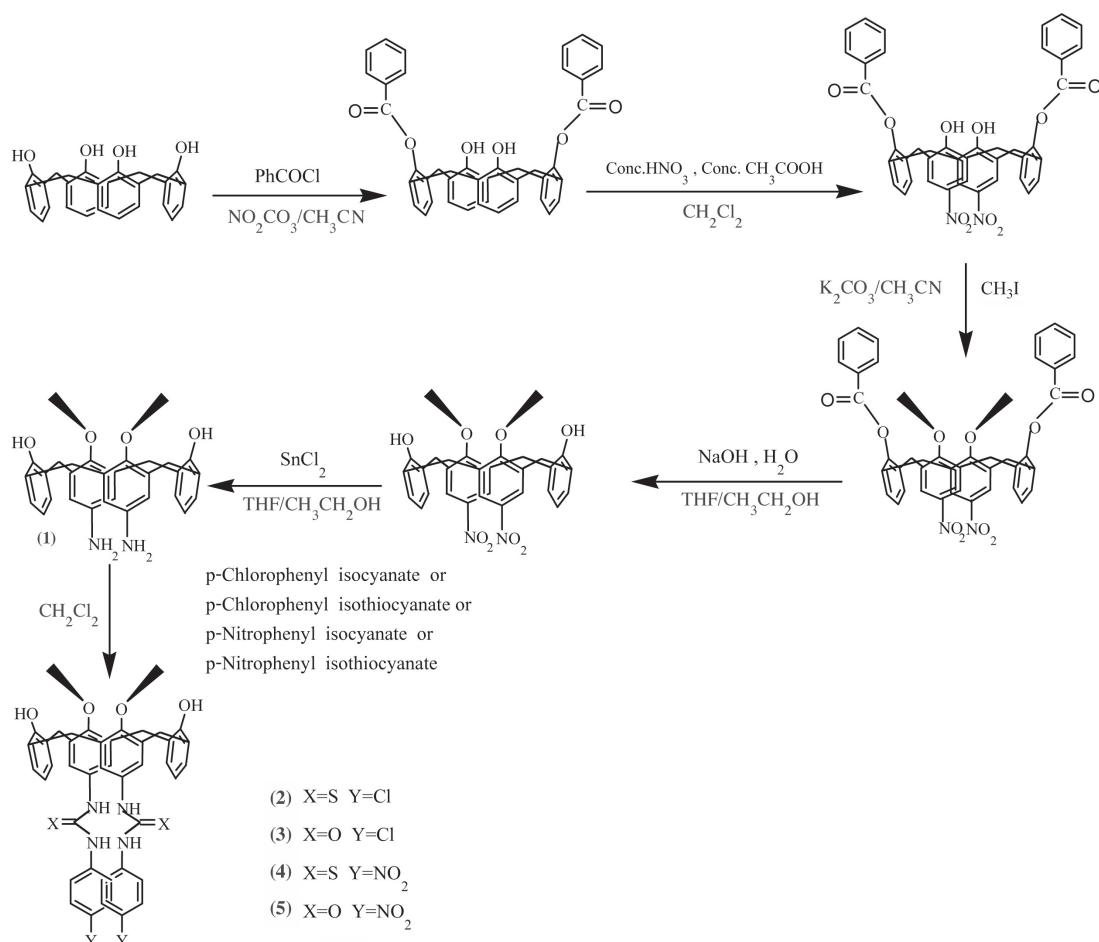
3. นำค่า chemical shift ของ NH - ในหมู่ไหโอยูเรียหรืออยูเรียที่เปลี่ยนแปลงไปปีคำนวณหาค่าคงที่การเกิดสารประกอบเชิงช้อน (K_{ass}) โดยใช้โปรแกรม EQNMR

ตารางที่ 1 แสดงอัตราส่วนโมลของแอนไฮดรอนไอออนชนิดต่างๆ ต่อลิแกนด์ 2, 3, 4 และ 5 ในตัวทำละลาย DMSO-d_6

อัตราส่วนโมลของ ไอออนลบต่อลิแกนด์	ปริมาตรของไอออนลบ ที่เติม (มิลลิลิตร)	ปริมาณโมลของไอออนลบ ในหลอด NMR (มิลลิลิตร)	ปริมาตรรวมของ หลอด NMR (มิลลิลิตร)
0.0	0.000	0.00	0.500
0.2	0.010	1.0×10^{-6}	0.510
0.4	0.010	2.0×10^{-6}	0.520
0.6	0.010	3.0×10^{-6}	0.530
0.8	0.010	4.0×10^{-6}	0.540
1.0	0.010	5.0×10^{-6}	0.550
1.2	0.010	6.0×10^{-6}	0.560
1.4	0.010	7.0×10^{-6}	0.570
1.6	0.010	8.0×10^{-6}	0.580
1.8	0.010	9.0×10^{-6}	0.590
2.0	0.010	10.0×10^{-6}	0.600

ผลการทดลองและวิจารณ์ผลการทดลอง

การสังเคราะห์ลิแกนด์ 2, 3, 4 และ 5 สามารถสังเคราะห์ผ่านขั้นตอนทั้งหมด 6 ขั้นตอน โดยที่ 5 ขั้นตอนแรกได้อธิบายไว้ในงานวิจัยก่อนหน้านี้ [8, 9] ในขั้นตอนสุดท้ายเป็นการทำปฏิกิริยา coupling ของสาร 1 กับ *p*-chlorophenylisothiocyanate หรือ *p*-chlorophenylisocyanate หรือ *p*-nitrophenylisothiocyanate หรือ *p*-nitrophenylisocyanate ตามลำดับ จะได้ลิแกนด์ 2, 3, 4 และ 5 ดังรูปที่ 1 ¹H-NMR และ mass spectrometry ของลิแกนด์ทั้งสี่สอดคล้องกับโครงสร้างของสาร ขั้นตอนการสังเคราะห์ดังแสดงในรูปที่ 1



รูปที่ 1 แสดงการสังเคราะห์สารอนุพันธ์ของคอลิกซ์[4]เอรีน

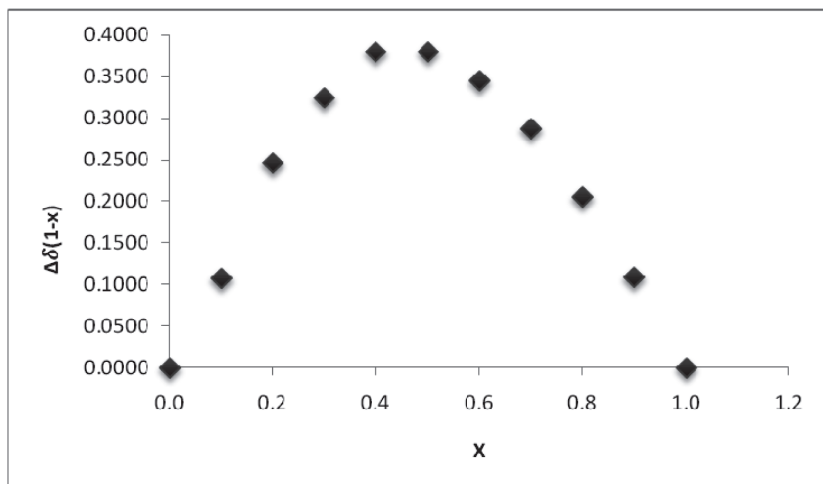
เราได้ศึกษาความสามารถของลิแกนด์ 2, 3, 4 และ 5 ใน การจับกับไอออนลบชนิดต่างๆ ที่มีรูปทรงทั้งทรงกลม สามเหลี่ยมแบบรูบ และทรงสี่เหลี่ยม เพราะไอออนลบชนิดต่างๆ นั้นมีบทบาทสำคัญ ทั้งด้านสิ่งแวดล้อมและระบบชีวภาพ ไอออนลบที่เลือกมาศึกษา ได้แก่ NO_3^- , CH_3COO^- , H_2PO_4^- , HSO_4^- , F^- , Cl^- , Br^- และ I^- โดยวิธี $^1\text{H-NMR titration}$ $^1\text{H-NMR}$ สเปกตรัมของลิแกนด์ 2, 3, 4 และ 5 ในตัวทำละลาย DMSO-d_6 ที่อุณหภูมิห้อง เมื่อยังไม่ได้เติมและเมื่อเติม การเติมเกลือไอออนลบชนิดต่างๆ ในรูปของ tetrabutylammonium ตามตารางที่ 1 ได้บันทึกค่า chemical shift (δ) ของ NH- ในหมู่ญี่เรีย หรือไฮโอยูเรียของลิแกนด์ 2, 3, 4 และ 5 การเติมไอออนลบ I^- ค่า chemical shift (δ) ของ NH- ในหมู่ญี่เรียหรือไฮโอยูเรียไม่เปลี่ยนแปลง แสดงว่าลิแกนด์ 2, 3, 4 และ 5 ไม่สามารถเกิดสารประกอบ เชิงซ้อนกับไอออนลบ I^- ได้ ในขณะที่ไอออนลบ NO_3^- , CH_3COO^- , H_2PO_4^- , HSO_4^- , F^- , Cl^- และ Br^- ค่า chemical shift (δ) ของ NH- ในหมู่ญี่เรียหรือไฮโอยูเรียมีการเปลี่ยนแปลงและได้บันทึกค่าไว้ แสดงว่าลิแกนด์ 2, 3, 4 และ 5 สามารถเกิดสารประกอบเชิงซ้อนกับไอออนลบดังกล่าวได้ ผลต่างของ ค่า chemical shift (δ) ของลิแกนด์ 3 กับไอออนลบชนิดต่างๆ ประกอบเชิงซ้อนกับไอออนลบ ดังแสดงใน ตารางที่ 2 ค่า chemical shift (δ) ของลิแกนด์ 3 กับไอออนลบ CH_3COO^- ที่เปลี่ยนแปลงไป แสดงใน ตารางที่ 3 ซึ่งสอดคล้องกับ $^1\text{H-NMR}$ ของลิแกนด์ 3 เมื่อเติมไอออนลบ CH_3COO^- ดังแสดงในรูปที่ 2 ค่า chemical shift (δ) ของ NH- ในหมู่ญี่เรียหรือไฮโอยูเรียที่เปลี่ยนแปลงไปได้นำมาคำนวณหาค่าคงที่ การเกิดสารประกอบเชิงซ้อน โดยใช้โปรแกรม EQNMR ค่าคงที่การเกิดสารประกอบเชิงซ้อนที่ได้แสดงใน ตารางที่ 4 การพล็อตกราฟของ X กับ $\Delta\delta(1-X)$ แสดงถึงอัตราส่วนของการเกิดสารประกอบเชิงซ้อนของลิแกนด์ กับไอออนลบ รูปที่ 2 แสดงอัตราส่วนการเกิดสารประกอบเชิงซ้อนของลิแกนด์ 3 กับไอออนลบ CH_3COO^-

ตารางที่ 2 แสดงผลต่างของค่า chemical shift (δ) ของลิแกนด์ 3 เมื่อเติมไอออนลบ NO_3^- , CH_3COO^- , H_2PO_4^- , HSO_4^- , F^- , Cl^- , Br^- และ I^-

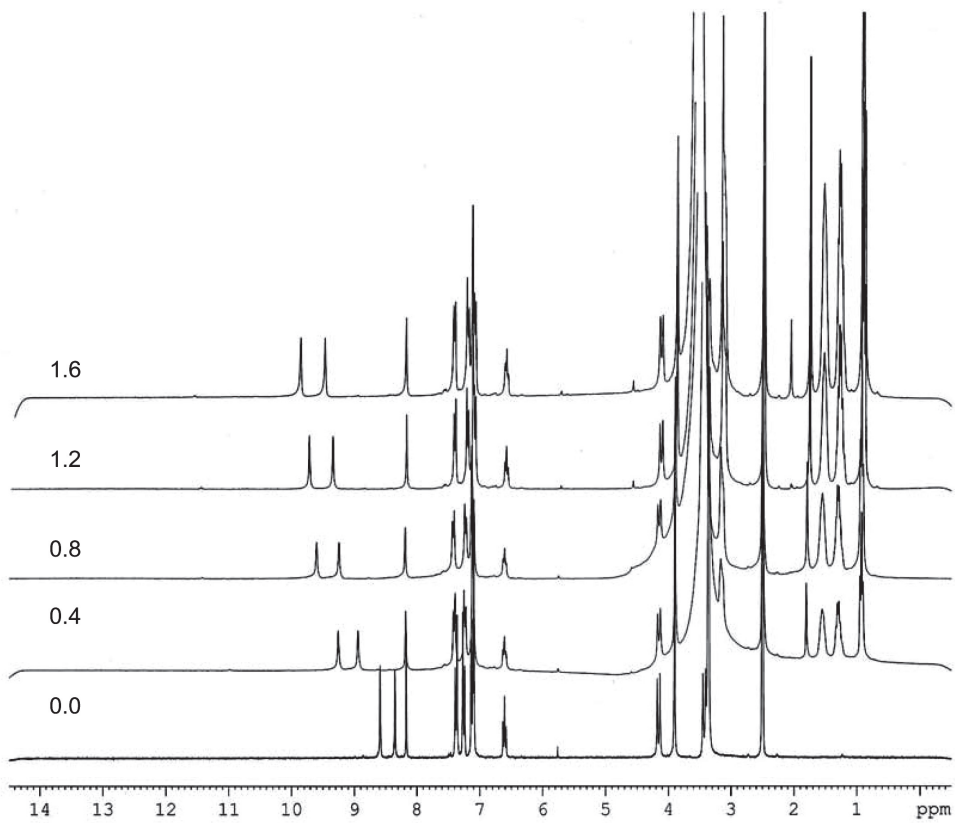
ไอออนลบ	ผลต่างค่า chemical shift (δ) ppm
CH_3COO^-	1.3290
H_2PO_4^-	1.0966
HSO_4^-	ไม่เปลี่ยนแปลง
F^-	ไม่สามารถหาค่าได้
Cl^-	0.1480
Br^-	0.0586
I^-	ไม่เปลี่ยนแปลง
NO_3^-	ไม่เปลี่ยนแปลง

ตารางที่ 3 แสดงค่า chemical shift (δ) ที่เปลี่ยนแปลงไปของลิแกนด์ 3 กับไออ่อนลบ CH_3COO^-

อัตราส่วนโมลของ ไออ่อนลบต่อลิแกนด์ 3	ความเข้มข้นของ ลิแกนด์ 3 (mol/dm ³)	ความเข้มข้นของ CH_3COO^- (mol/dm ³)	ค่า chemical shift (δ)
0	0.01000	0.00000	8.5880
0.2	0.00980	0.00196	8.7930
0.4	0.00962	0.00385	8.9930
0.6	0.00943	0.00566	9.2555
0.8	0.00926	0.00741	9.4462
1.0	0.00910	0.00910	9.5975
1.2	0.00893	0.01071	9.7010
1.4	0.00877	0.01228	9.7132
1.6	0.00862	0.01379	9.8068
1.8	0.00847	0.01525	9.8542
2.0	0.00833	0.01667	9.9170



รูปที่ 2 แสดงอัตราส่วน 1: 1 ของลิแกนด์ 3 กับ ไออ่อนลบ CH_3COO^-

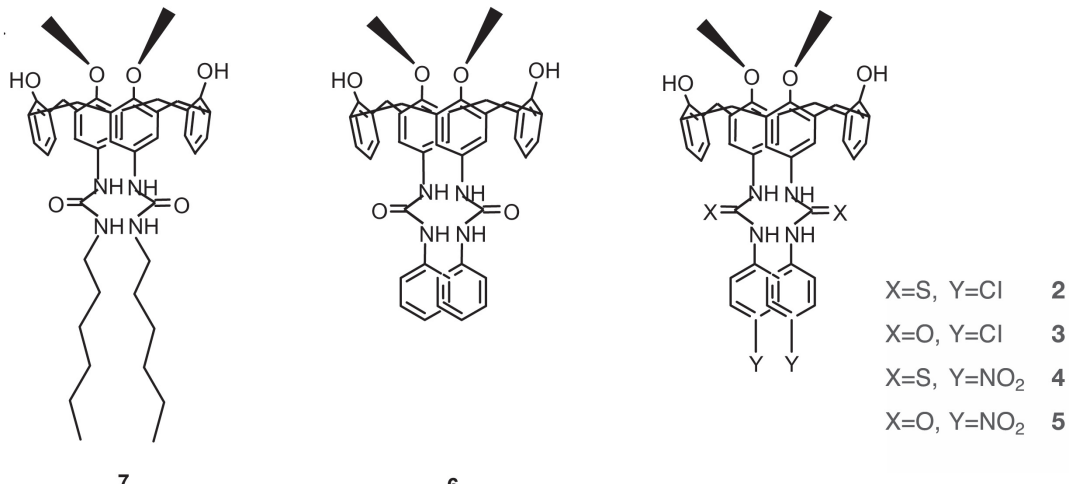


รูปที่ 3 แสดงการ shift ของ NH- ในหมู่ยูเรียที่เปลี่ยนแปลงไปของลิแกนด์ 3 เมื่อเติม CH_3COO^- ในอัตราส่วนโมล 0 ถึง 1.6 เท่า

ตารางที่ 4 แสดงค่าคงที่การเกิดสารประกอบเชิงช้อนของลิแกนด์ 2, 3, 4 และ 5 กับ CH_3COO^- , F^- , Cl^- , Br^- , H_2PO_4^- , HSO_4^- , I^- และ NO_3^-

ไอออนลบ	ค่าคงที่การเกิดสารประกอบเชิงช้อน (M^{-1})					
	6*	7*	2	3	4	5
CH_3COO^-	-	-	1754.7	660.4	หาค่าไม่ได้	หาค่าไม่ได้
H_2PO_4^-	250.0	44.4	หาค่าไม่ได้	937.3	หาค่าไม่ได้	หาค่าไม่ได้
F^-	-	-	หาค่าไม่ได้	หาค่าไม่ได้	หาค่าไม่ได้	หาค่าไม่ได้
Cl^-	43.0	20.2	89.8	41.4	123	95
Br^-	30.0	No binding	36.8	23.5	25	21
I^-	No binding	No binding	No binding	No binding	No binding	No binding
NO_3^-	13.0	No binding	No binding	No binding	24.8	23.8
HSO_4^-	-	No binding	No binding	No binding	23	No binding

หมายเหตุ: *ค่าคงที่การเกิดสารประกอบเชิงช้อนของลิแกนด์ 6 และ 7 ได้จากเอกสารอ้างอิง [8, 9]

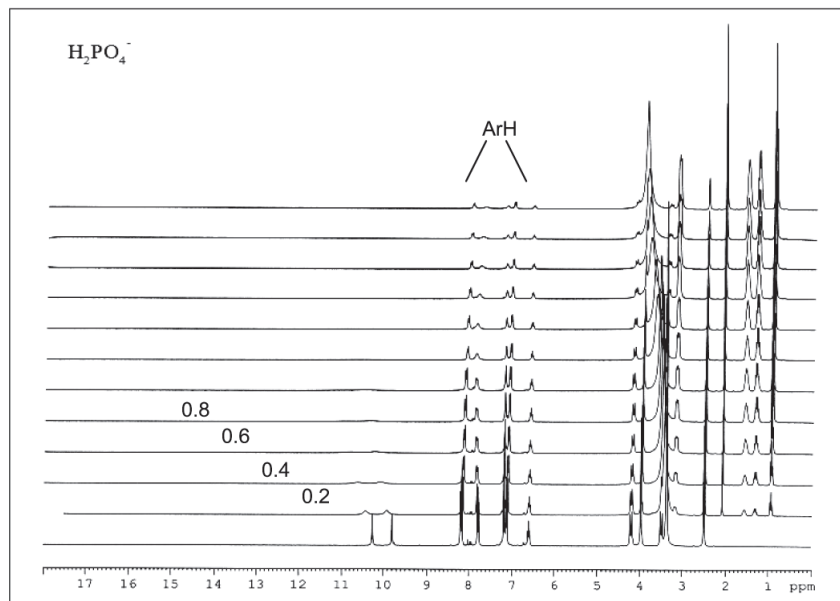
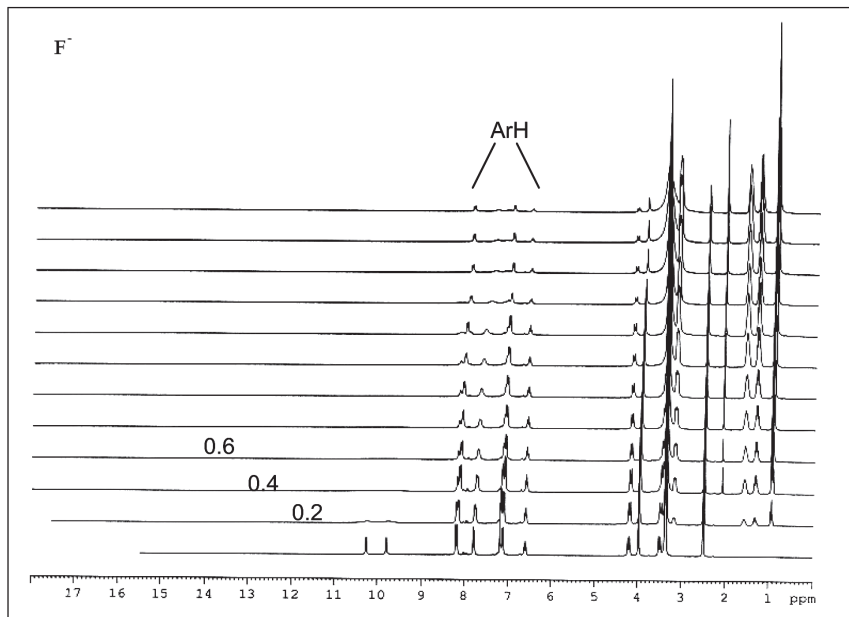


รูปที่ 4 โครงสร้างของลิแกนด์ 2, 3, 4, 5, 6 และ 7

จากโครงสร้างของลิแกนด์ 6 และ 7 เมื่อเปรียบเทียบหมู่ phenyl ลิแกนด์ 6 กับหมู่ hexyl ของลิแกนด์ 7 หมู่ phenyl มีผลทำให้ปร托อนของยูเรียในลิแกนด์ 6 มีความแรงของการดมากกว่าเจิงสามารถจับกับได้อ่อนลงได้ดีกว่า ดังแสดงค่าคงที่การเกิดสารประกอบเชิงช้อนในตารางที่ 4 และการเติมหมู่ *p*-chlorophenyl และ *p*-nitrophenyl ซึ่งเป็นหมู่ดึงอิเล็กตรอนจะส่งผลให้ปร托อนของหมู่ยูเรียหรือไฮโลยูเรียของลิแกนด์ 2, 3, 4 และ 5 มีความแรงของกรดเพิ่มมากขึ้น จะเห็นได้จากค่าคงที่การเกิดสารประกอบเชิงช้อนของลิแกนด์ 2, 3, 4 และ 5 กับไออ่อนลบต่างๆ มีค่ามากกว่าของ ลิแกนด์ 6 และ 7 เช่น ไออ่อนลบ Cl^- และ H_2PO_4^- อย่างไรก็ตาม ลิแกนด์ทั้งหมดก็ไม่สามารถจับกับไออ่อนลบที่มีรูปร่างเป็นทรงกลมที่มีขนาดใหญ่ได้ดี เช่น Br^- และ I^- โดยเฉพาะ I^- ลิแกนด์ทั้งหมดไม่สามารถจับได้เลย ลิแกนด์ทั้งหมดจะเลือกจับจำเพาะเฉพาะจังกับไออ่อนลบที่มีความแรงของเบสที่แรง เช่น F^- , CH_3COO^- และ H_2PO_4^- โดยเฉพาะ H_2PO_4^- มีรูปร่างสี่หน้าที่สามารถเข้ากับโครงสร้างของคลาลิกซ์[4]เอรินที่เป็นโครงสร้างฐานได้ดีทำให้ค่าคงที่การเกิดสารประกอบเชิงช้อนมีค่าสูง และจะสูงขึ้นตามความแรงของกรดของปร托อนในหมู่ยูเรียหรือไฮโลยูเรียที่เมื่อมีการเติมหมู่ดึงอิเล็กตรอนเข้าไปในโครงสร้างของลิแกนด์ โดยเพิ่มขึ้นจาก 44.4 M^{-1} ของลิแกนด์ 7 เป็น 250.0 และ 937.3 M^{-1} ของลิแกนด์ 6 และ 3 ตามลำดับ ในขณะที่ลิแกนด์ 2, 4 และ 5 หาค่าไม่ได้ ไออ่อนลบที่มีความแรงของเบสอ่อน เช่น Cl^- , Br^- , HSO_4^- และ NO_3^- ลิแกนด์จะจับได้ไม่ดี และมีค่าคงที่ของการเกิดสารประกอบเชิงช้อนที่ต่ำ

จากตารางที่ 4 ค่าคงที่การเกิดสารประจุลบเชิงช้อนของลิแกนด์ **2**, **3**, **4** และ **5** กับไอออนลบที่มีความแรงของเบสที่แรง (F^- , CH_3COO^- และ $H_2PO_4^-$) หากไม่ได้เป็นส่วนใหญ่ ยกเว้นลิแกนด์ **3** กับไอออนลบ CH_3COO^- และ $H_2PO_4^-$ เนื่องจากการเติมหมู่ดึงอิเล็กตรอนเข้าไปในโครงสร้างของลิแกนด์ มีผลทำให้มีอิจันกับไอออนลบที่มีความแรงของเบสที่แรง จะเกิด deprotonation [10-13] คือ มีการให้และรับประตอนของหมู่เรียบร้อยหรือไฮโอลูเรียของลิแกนด์ **2**, **4** และ **5** กับไอออนลบเหล่านั้น ดังแสดงในรูปที่ 5 1H -NMR ของลิแกนด์ **2** เมื่อเติมไอออนลบ F^- และ $H_2PO_4^-$ ประตอนของหมู่ไฮโอลูเรียจะ brod และ

หายไปตั้งแต่เติมไปอัตราส่วนโมล 0.2 และ 0.6 เท่า ตามลำดับ ทำให้ไม่สามารถหาค่าคงที่การเกิดสารประกอบเชิงชั้นโดยวิธี $^1\text{H-NMR}$ ได้ สำหรับลิแกนด์ **4** และ **5** กับไออ่อนลบ F^- , CH_3COO^- และ H_2PO_4^- ที่เป็นไปในทำงานเดียวกัน



รูปที่ 5 แสดง $^1\text{H-NMR}$ ของลิแกนด์ **4** เมื่อเติมไออ่อนลบ F^- และ H_2PO_4^- ในอัตราส่วนโมล 0 ถึง 2 เท่า

จากสเปกตัมของ $^1\text{H-NMR}$ ในรูปที่ 5 ค่า chemical shift (δ) ที่ประมาณ 6.60, 7.12, 7.19, 7.77 และ 8.16 ซึ่งเป็นของอโรมาติกในคลิกซ์[4]เอรินและอโรมาติกของ *p*-nitrophenyl มีการ shift ไปทางค่า chemical shift (δ) ที่ต่ำลงหรือไปทาง up field shift เนื่องจากเกิดการ deprotonation มีผลให้ อิเล็กตรอนมีการเคลื่อนที่เข้าไปในอโรมาติกในคลิกซ์[4]เอรินและอโรมาติกของ *p*-nitrophenyl ทำให้ในวงอโรมาติกมีความหนาแน่นของอิเล็กตรอนเพิ่มขึ้น จึงต้องใช้สนาમแม่เหล็กภายนอกเพิ่มขึ้น จึงเกิด up field shift หรือเรียกว่าเกิด through bond effect [11] ในขณะที่การจับกันของลิแกนด์กับไอออนลบต่างๆ โดย การเกิดพันธะไฮโดรเจน จะมีการเกิด down field shift เพราะความหนาแน่นของอิเล็กตรอนรอบโปรตอน ของหมู่ยูเรียหรือไทโอยูเรียลดลง เรียกว่าเกิด through space effect ดังเช่นการ shift ไปของโปรตอนในหมู่ยูเรียของลิแกนด์ 3 เมื่อเติมไอออนลบ CH_3COO^- ดังรูปที่ 3

เมื่อเปรียบเทียบลิแกนด์ 2, 3, 4 และ 5 ในการเกิดสารประกอบเชิงช้อนกับไอออนลบ ลิแกนด์ที่มีหมู่ไทโอยูเรียจะสามารถจับกับไอออนลบได้ดีกว่าที่เป็นหมู่ยูเรีย เนื่องจาก S ของหมู่ไทโอยูเรีย มีอิร์บิตต์ 3d ซึ่งมีพลังงานห่างจากอิร์บิตต์ 3p ไม่มาก จึงสามารถใช้อิร์บิตต์ 3d รองรับอิเล็กตรอนได้ จึงจับกับไอออนลบได้ดีกว่า ในขณะที่ O ของหมู่ยูเรีย อิร์บิตต์ 2p ห่างจากอิร์บิตต์ 3d มาก จึงไม่สามารถใช้อิร์บิตต์ 3d ได้ นอกจากนี้ ลิแกนด์ที่มีหมู่ดึงอิเล็กตรอน *p*-nitrophenyl จะเป็นหมู่ดึง อิเล็กตรอนที่แรงกว่า *p*-chlorophenyl ค่าคงที่การเกิดสารประกอบเชิงช้อนของลิแกนด์ที่มีหมู่ไทโอยูเรีย และมีหมู่ดึงอิเล็กตรอนเป็น *p*-nitrophenyl จึงมีค่ามากกว่า และในการณ์ที่จับกับไอออนลบที่มีความแรงของเบสที่แรงจะเกิดการ deprotonation ได้ง่าย ดังนั้นลิแกนด์ 2, 4 และ 5 จึงหาค่าไม่ได้ ดังแสดงในตารางที่ 4 ในกรณีลิแกนด์ 3 มีตัวจับไอออนลบเป็นหมู่ยูเรียและมีหมู่ดึงอิเล็กตรอนเป็น *p*-chlorophenyl โปรตอนของหมู่ยูเรียยังมีความแรงของกรดไม่มากพอจะให้โปรตอนแก่เบสที่แรงได้ แต่จะจับกันด้วยพันธะไฮโดรเจน ที่แข็งแรง จึงเกิดการ shift ของโปรตอนของหมู่ยูเรียไปทาง downfield shift โดยไม่เกิดการ deprotonation ดังสเปกตัมของลิแกนด์ 3 กับไอออนลบ CH_3COO^- ดังรูปที่ 3 จึงสามารถที่จะจับกับไอออนลบมีความแรงของเบสที่แรงได้ (CH_3COO^- และ H_2PO_4^-) ยกเว้นไอออนลบ F^- ค่าคงที่การเกิดสารประกอบเชิงช้อน ดังแสดงในตารางที่ 4

สรุปผลการทดลอง

เราสามารถสังเคราะห์อนพันธ์ของคลิกซ์[4]เอริน 2, 3, 4 และ 5 ที่มีคุณสมบัติเป็น anion sensors ได้ และการเติมหมู่ดึงอิเล็กตรอนเข้าไปในโครงสร้างสามารถเพิ่มความสามารถในการจับกับไอออนลบได้ดียิ่งขึ้น ลิแกนด์ที่มีหมู่ดึงอิเล็กตรอนเป็น *p*-nitrophenyl และมีตัวจับไอออนลบเป็นไทโอยูเรีย จะมีความสามารถจับกับไอออนลบได้ดีกว่าลิแกนด์ที่มีหมู่ดึงอิเล็กตรอนเป็น *p*-chlorophenyl และมีตัวจับไอออนลบเป็นยูเรีย

กิตติกรรมประกาศ

งานวิจัยนี้ได้รับทุนอุดหนุนการวิจัยจากงบประมาณเงินรายได้มหาวิทยาลัยครินทริวโรต์ ประเภทโครงการทุนวิจัยไม่กำหนดทิศทาง ประจำปี 2550

เอกสารอ้างอิง

- Wu, J. L., He, Y. -B., Zeng, Z. -Y., Wei, L. -H., Meng, L. -Z., and Yang, T. -X. 2004. Synthesis of Anionic Fluororeceptors Based on Thiourea and Amide Groups and Recognition Property for α , W-Dicarboxylate. *Tetrahedron* 60: 4309-4314.
- Nishizawa, S., Buhlmann, P., Iwao, M., and Umezawa, Y. 1995. Anion Recognition by Urea and Thiourea Groups: Remarkably Simple Neutral Receptors for Dihydrogenphosphate. *Tetrahedron Letters* 36: 6483-6486.
- Hayashita, T., Onodera, T., Kato, R., Nishizawa, S., and Teramae, N. 2000. Positioning Dependent Anion Recognition by Thiourea-Based Chromoionophores via Hydrogen Bonding in Aqueous Vesicle Solutions. *Chemical Communications*: 755-756.
- Kim, Y. -J., Kwak, H., Lee, S. J., Lee, J. S., Kwon, H. J., Nam, S. H., Lee, K., and Kim, C. 2006. Urea/Thiourea-Based Colorimetric Chemosensors for the Biologically Important Ions: Efficient and Simple Sensors. *Tetrahedron* 62: 9635-9640.
- Jose, D. A., Single, A., Das, A., and Ganguly, B. 2007. A Density Functional Study towards the Preferential Binding of Urea and Thiourea. *Tetrahedron Letters* 48: 3695-3698.
- Pfeffer, F. M., Seter, M., Lewenko, N., and Barnett, N. W. 2009. Fluorescent Anion Sensors Based on 4-Amino-1,8-Naphthalimide that Employ the 4-Amino N-H. *Tetrahedron Letters* 47: 5241-5245.
- Jung, H. S., Kim, H. J., Vicens, J., and Kim, J. S. 2009. A New Fluorescent Chemosensor for F^- Based on Inhibition of Excited-State Intramolecular Proton Transfer. *Tetrahedron Letters* 50: 983-987.
- แผนท่องเรื่อง. 2549. การสังเคราะห์คาลิกซ์[4]เอรีนที่มียูเรียเป็นองค์ประกอบสำหรับการจดจำไอออนลบ. *วารสารวิทยาศาสตร์ มศว* 22(1): 14-20.
- Tongraung, P., Chantarasiri, N., and Tuntulani, T. 2003. Calix[4]Arene Containing Urea and Crown/Urea Moieties: Effects of the Crown Ether Unit and Na^+ Towards Anion Binding Ability. *Tetrahedron Letters*. 44: 29-32.
- Gunnlangsson, T., and Kruger, P. E. 2005. Colorimetric “Naked Eye” Sensing of Anions in Aqueous Solution. *Journal of Organic Chemistry* 70: 10875-10878.
- Esteban-Gomez, D., Fabbrizzi, L., and Licchelli, M. 2005. Why, on Interaction of Urea-Based Receptor with Fluoride, Beautiful Colors Develop. *Journal of Organic Chemistry* 70: 5717- 5720.
- Boiocchi, M., Del Boca, L., Esteban-Gomez, D., Fabbrizzi, L., Licchelli, M., and Monzani, E. 2004. Nature of Urea-Fluoride Interaction: Incipient and Definitive Proton Transfer. *Journal of the American Chemical Society* 126: 16507-16514.
- Amendola, V., Esteban-Gomez, D., Fabbrizzi, L., and Licchelli, M. 2006. What Anions do to N-H-Containing Receptors. *Accounts of Chemical Research* 39: 343-353.